

+

ОБЪЕДИНЕННЫЙ  
ИНСТИТУТ  
ЯДЕРНЫХ  
ИССЛЕДОВАНИЙ  
ДУБНА

2304 / 2-80

2/6-80  
P2-80-87

Г.С.Погосян, Я.А.Сморodinский, В.М.Тер-Антонян

ОСЦИЛЛЯТОРНЫЕ ФУНКЦИИ ВИГНЕРА

Направлено в "Journal of Physics. A"

1980

Как известно, для потенциалов, наделенных динамической группой симметрии, переменные в уравнении Шредингера обычно разделяются в нескольких системах координат. В случае центрально-симметричных потенциалов (кулоновское поле, изотропный осциллятор) такая повышенная разделяемость переменных приводит к своеобразной неоднозначности при введении функции Вигнера, так как при этом оператору конечных вращений уже можно поставить в соответствие несколько различных типов матричных элементов в зависимости от выбора базисных волновых функций. В самом деле, например, в случаях кулонова поля и изотропного осциллятора можно говорить о матричных элементах оператора конечных вращений как по сферическому, так и по параболическому и декартовому базису соответственно. В отличие от обычной функции Вигнера (сферический базис), универсальной для всех центрально-симметричных полей, функции Вигнера, построенные по остальным базисам, несут на себе информацию и о самом поле и, следовательно, отражают его динамическую симметрию.

В настоящей работе исследуется функция Вигнера для изотропного осциллятора произвольной размерности, причем в качестве базиса выбраны декартовы волновые функции. В дальнейшем для краткости мы будем говорить о них как об осцилляторных функциях Вигнера.

План статьи таков. Вначале вводятся двумерные осцилляторные функции Вигнера. Далее на их основе строятся осцилляторные функции Вигнера произвольной размерности и развивается диаграммная техника, позволяющая сравнительно легко определять явную зависимость этих функций от углов Эйлера.

I. При переходе от системы координат  $S(x, y)$  к системе координат  $S'(x', y')$ , повернутой относительно первой на угол  $\alpha$ , декартовы волновые функции кругового осциллятора преобразуются ортогональной матрицей \*)

$$|j, m', j-m'; x', y'\rangle = \sum_{m=-j}^j \langle j+m, j-m; x, y | j+m', j-m'; x', y'\rangle |j+m, j-m; x, y\rangle \quad (I)$$

Разложим коэффициенты этого преобразования по полярным волновым функциям с той же энергией. Так как  $E^{q\epsilon k} = 2j+1$ ,  $E^{m\alpha} = 2\rho+1|m|+1$ , где  $\rho > 0$  и целое,  $M$  - азимутальное квантовое число, то при равных энергиях  $\rho = j - \frac{|M|}{2}$ , так что  $-2j \leq M \leq 2j$  и, следовательно,

$$\begin{aligned} & \langle j+m, j-m; x, y | j+m', j-m'; x', y'\rangle = \\ & = \sum_{k=-j}^j \langle j+m, j-m; x, y | j-|k|, 2k; z, \varphi\rangle e^{2ik\alpha} \langle j-|k|, 2k; z, \varphi' | j+m', j-m'; x', y'\rangle \end{aligned}$$

Входящие в эту формулу коэффициенты перехода от декартовых волновых функций к полярным были вычислены в работе /1/ и имеют вид

$$\langle j+m, j-m; x, y | j-|k|, 2k; z, \varphi\rangle = (-i)^{j-m} (-1)^{j-|k|} d_{k, m}^j \left(\frac{\varphi}{2}\right),$$

причем  $d$  - функции Вигнера в смысле фазового соглашения определены согласно монографии /2/. Пользуясь этим результатом и теоремой сложения для  $d$  - функций, получим закон преобразования

---

\*) Ниже выбрана система единиц, в которой  $\hbar = m = \omega = 1$   
углы  $\varphi$  и  $\varphi'$  в системах  $S$  и  $S'$  связаны соотношением  $\varphi' = \varphi + \alpha$ .

$$|j+m', j-m'; \chi, \psi\rangle = \sum_{m=-j}^j d_{m'm}^{j'}(2\alpha) |j+m, j-m; \chi, \psi\rangle \quad (2)$$

Легко убедиться, что при  $m' = -j$  и  $\alpha = \frac{\pi}{4}$  отсюда получается известная теорема сложения для полиномов Эрмита. Формула (2) для случая  $\alpha = \frac{\pi}{4}$  была получена в работе [3]. Заметим также, что из (2) следует интересное интегральное представление для  $d$ -функций через нормированные функции Эрмита

$$d_{m'm}^{j'}(\varphi) = \int_{-\infty}^{\infty} dx \int_{-\infty}^{\infty} dy \bar{H}_{j+m}(x) \bar{H}_{j-m'}(x \cos \frac{\varphi}{2} - y \sin \frac{\varphi}{2}) \bar{H}_{j-m}(y) \bar{H}_{j-m'}(-x \sin \frac{\varphi}{2} + y \cos \frac{\varphi}{2})$$

Явный вид преобразования (2) можно установить и не переходя к полярным волновым функциям, а рассматривая соотношение (1) при больших  $X$  и  $Y$  и заменяя полиномы Эрмита соответствующими главными степенями аргументов.

2. Для вычисления осцилляторных функций Вигнера при  $n \geq 3$  можно, как это делалось выше, сначала перейти к сферическому базису и затем совершить поворот. Однако уже при  $n = 3$  коэффициенты такого перехода имеют довольно сложный вид [4] и не поддаются последующему суммированию с помощью известных теорем сложения для  $d$ -функций и коэффициентов Клебша-Гордана. Поэтому ниже все вычисления проводятся непосредственно на языке декартовых волновых функций.

Вид оператора  $n$ -мерных конечных вращений, естественно, зависит от того, какое количество углов используется для перевода одной точки сферы в другую. В декартовом базисе наиболее просто выглядят повороты в отдельных координатных плоскостях, так как каждый такой поворот преобразует лишь соответствующую пару одно-

мерных осцилляторных волновых функций по закону, полученному выше. Произвольное  $n$ -мерное вращение, как известно, эквивалентно определенным образом подобранной последовательности таких "элементарных" поворотов на  $n(n-1)/2$  углов Эйлера.

В трехмерном случае оператор конечного вращения выражается через углы Эйлера  $\Theta_1^2$ ,  $\Theta_2^2$  и  $\Theta_1^4$  следующим образом:

$$\hat{G}(z) = \hat{G}_{2,1}(\Theta_1^2) \hat{G}_{3,2}(\Theta_2^2) \hat{G}_{2,1}(\Theta_1^4). \quad (3)$$

Индексы операторов  $\hat{G}_{j+1, j}$  указывает на координатную плоскость, в которой совершается поворот, а за положительное принято вращение от  $j+1$  оси к  $j$ -ой. Так как волновые функции в системах  $S(x, y, z)$  и  $S'(x', y', z')$  относятся к одному значению энергии, то отличны от нуля матричные элементы  $\langle j'+m', j'-m', n-2j' | \hat{G}(z) | j+m, j-m, n-2j \rangle$ . Выражая, согласно (3), оператор  $\hat{G}(z)$  через операторы  $\hat{G}_{j+1, j}$  и отделяя вращение в плоскости  $(x, y)$  на угол  $\Theta_1^4$ , получим

$$\begin{aligned} & \langle j'+m', j'-m', n-2j' | \hat{G}(z) | j+m, j-m, n-2j \rangle = \\ & = \sum_{j''=0}^{n/2} \sum_{m''=-j''}^{j''} \langle j'+m', j'-m', n-2j' | \hat{G}_{2,1}(\Theta_1^4) \hat{G}_{3,2}(\Theta_2^2) | j''+m'', j''-m'', n-2j'' \rangle \cdot \\ & \langle j''+m'', j''-m'', n-2j'' | \hat{G}_{2,1}(\Theta_1^2) | j+m, j-m, n-2j \rangle. \end{aligned}$$

Вращение  $\hat{G}_{2,1}(\Theta_1^4)$  не затрагивает координаты  $z$ , и поэтому последний матричный элемент отличен от нуля лишь при  $j''=j'$ , так что суммирование по  $j''$  сокращается. Коэффициент, содержащий произведение двух операторов вращения, в свою очередь, приводится к линейной комбинации произведений матричных элементов от опера-

торов  $\hat{G}_{21}(\theta_1^2)$  и  $\hat{G}_{32}(\theta_2^2)$ , и после учета аналогичных правил отбора имеем:

$$\begin{aligned} & \langle j+m, j-m, n-2j | \hat{G}(z) | j'+m', j'-m', n-2j' \rangle = \\ & = \sum_{m''=-j'}^{j'} \sum_{\tilde{m}=-j}^j \langle j+m, j-m | \hat{G}_{21}(\theta_1^2) | j+\tilde{m}, j-\tilde{m} \rangle \langle j-\tilde{m}, n-2j | \hat{G}_{32}(\theta_2^2) | j'-m'', n-2j' \rangle \cdot \\ & \langle j'+m'', j'-m'' | \hat{G}_{21}(\theta_1^2) | j'+m', j'-m' \rangle \delta_{j+\tilde{m}, j'+m''}. \end{aligned}$$

Переходя далее от суммирования по  $\tilde{m}$  и  $m''$  к суммированию по  $t = j + m''$  и  $k = j + \tilde{m}$  и пользуясь тем, что, согласно (2),

$$\begin{aligned} & \langle j+m, j-m; x_k, x_{k+1} | j'+m', j'-m'; x'_k, x'_{k+1} \rangle = \\ & = \langle j+m, j-m | \hat{G}_{k+1, k}(\alpha) | j'+m', j'-m' \rangle = d_{m', m}^j(2\alpha), \end{aligned} \quad (4)$$

получим явное выражение для трехмерной осцилляторной функции Вигнера:

$$\begin{aligned} & \langle j+m, j-m, n-2j | \hat{G}(z) | j'+m', j'-m', n-2j' \rangle = \\ & = \sum_{t=0}^{2 \min(j, j')} d_{t-j, m}^j(2\theta_1^2) d_{2j'-\frac{n+t}{2}, 2j'-\frac{n+t}{2}}^{j'}(2\theta_2^2) d_{m', t-j}^{j'}(2\theta_1^2). \end{aligned} \quad (5)$$

Пределы, в которых суммирование по  $t$ , можно явно не выписывать, если подразумевать, что  $t$  пробегает только те значения, при которых абсолютное значение нижних, зависящих от  $t$  индексов  $d$ -функций не превышает значения соответствующего верхнего индекса.

Как видно из (3), при  $\theta_2^2 = 0$  имеет место чистое вращение в плоскости  $(x, y)$  на угол  $\theta_1^1 + \theta_1^2$ , а при  $\theta_1^1 = \theta_1^2 = 0$  - такое же вращение на угол  $\theta_2^2$  в плоскости  $(z, y)$ , так что в этих случаях выражение (4) должно переходить в  $d$ -функцию от аргументов  $2(\theta_1^1 + \theta_1^2)$  и  $2\theta_2^2$  соответственно. Пользуясь равенством  $d_{n, n}^j(\theta) = \delta_{n, n}$  и теоремой сложения для  $d$ -функций, легко убедиться в справедливости такого перехода.

В четырехмерном случае вращение определяется шестью углами Эйлера, а оператор  $\hat{G}(4)$  выражается через операторы поворота в координатных плоскостях формулой /5/:

$$\hat{G}(4) = \hat{G}_{21}(\theta_1^2) \hat{G}_{32}(\theta_2^2) \hat{G}_{43}(\theta_3^2) \hat{G}_{21}(\theta_1^1) \hat{G}_{32}(\theta_2^1) \hat{G}_{21}(\theta_1^1) \quad (6)$$

осцилляторная функция Вигнера вычисляется аналогичным образом и равна

$$\begin{aligned} & \langle j+m, j-m, k-2j, n-k | \hat{G}(4) | j'+m', j'-m', k'-2j', n-k' \rangle = \\ & = \sum_{\mu, \lambda, \nu} d_{m', \nu-j'}^{j'}(2\theta_1^1) d_{\nu-\mu, \lambda-j}^{\mu}(2\theta_2^1) d_{2j'-\frac{\mu+\nu}{2}, 2j'-\frac{\mu+\nu}{2}}^{\frac{\mu+\nu}{2}}(2\theta_3^1) \cdot \quad (7) \\ & \cdot d_{\lambda-j, m}^j(2\theta_2^2) d_{\lambda-\mu-\frac{\mu+\nu}{2}, 2j-\frac{\mu+\nu}{2}}^{\frac{\mu+\nu}{2}}(2\theta_3^2) d_{k'-j-\frac{\mu}{2}, k'-j-\frac{\mu}{2}}^{\frac{\mu}{2}}(2\theta_1^2). \end{aligned}$$

Суммирование здесь ведется в пределах, о которых говорилось выше в связи с формулой (5). При  $\theta_1^1 = \theta_2^1 = \theta_3^1 = 0$  вращение (6) вырождается в трехмерное, а формула (7) переходит в (5).

3. Перейдем к  $n$ -мерному случаю. Оператор конечных  $n$ -мерных вращений  $\hat{G}(n)$  можно представить в виде следующего произведения операторов поворота в координатных плоскостях /5/:

$$\hat{G}(n) = \hat{G}^{(n-1)}(\theta_1^{n-1}, \dots, \theta_{n-1}^{n-1}) \dots \hat{G}^{(1)}(\theta_1^1) \quad (8)$$

$$\hat{G}^{(k)}(\theta_1^k, \dots, \theta_n^k) = \hat{G}_{k,1}(\theta_1^k) \dots \hat{G}_{k,n,k}(\theta_n^k). \quad (9)$$

Из формулы (8) следует, что  $n$ -мерная осцилляторная функция Вигнера может быть выражена через матричные элементы операторов (9) следующим образом:

$$\langle N_1, \dots, N_n | \hat{G}(n) | N'_1, \dots, N'_n \rangle = \sum_{P_1^{(n-1)}, \dots, P_{n-1}^{(n-1)}} \dots \sum_{P_1^{(1)}, P_2^{(1)}} \langle N_1, \dots, N_n | \hat{G}^{(n-1)} | P_1^{(n-1)}, \dots, P_{n-1}^{(n-1)}, N'_n \rangle \cdot \quad (10)$$

$$\langle P_1^{(n-1)}, \dots, P_{n-1}^{(n-1)} | \hat{G}^{(n-2)} | P_2^{(n-2)}, \dots, P_{n-2}^{(n-2)}, N'_1 \rangle \dots \langle P_1^{(1)}, P_2^{(1)} | \hat{G}^{(1)} | N'_1, N'_2 \rangle,$$

причем  $P_1^{(1)} + \dots + P_i^{(1)} = N'_1 + \dots + N'_i$ .

Введем обозначение

$$P_i^{(l)} = N'_i; \quad P_i^{(s)} = N_i, \quad l = 1, 2, \dots, n,$$

с помощью которого (10) можно переписать в более компактной форме:

$$\begin{aligned} & \langle N_1, \dots, N_n | \hat{G}(n) | N'_1, \dots, N'_n \rangle = \\ & = \sum_{P_1^{(1)}, \dots, P_i^{(1)}} \prod_{j=1}^{n-1} \langle P_1^{(j+1)}, \dots, P_{j+1}^{(j+1)} | \hat{G}^{(j)}(\theta_1^j, \dots, \theta_j^j) | P_1^{(j)}, \dots, P_j^{(j)}, N'_{j+1} \rangle. \end{aligned} \quad (11)$$

Пользуясь (9), выделим из произведения операторов поворота в координатных плоскостях крайний правый множитель и воспользуемся тем, что, согласно (2),

$$\begin{aligned} & \hat{G}_{j+2,j}(\theta_j^j) | P_j^{(j)}, N'_{j+1} \rangle = \\ & = \sum_m \left\langle \frac{P_j^{(j)} + N'_{j+1} + m}{2}, \frac{P_j^{(j)} + N'_{j+1} - m}{2} \middle| \hat{G}_{j+2,j}(\theta_j^j) \middle| P_j^{(j)}, N'_{j+1} \right\rangle \cdot \left| \frac{P_j^{(j)} + N'_{j+1} + m}{2}, \frac{P_j^{(j)} + N'_{j+1} - m}{2} \right\rangle \end{aligned}$$



где суммирование по  $m$  ведется в пределах  $2|m| \leq P_j^{(j)} + N_{j+1}'$ .  
 Пронеся далее вектор состояния  $\langle P_{j+1}^{(j+1)} |$  через произведение  
 первых  $j-1$  операторов поворота в координатных плоскостях и  
 пользуясь условием ортонормировки одномерных осцилляторных волно-  
 вых функций, придем к соотношению

$$\begin{aligned} & \langle P_{\pm}^{(j+1)}, \dots, P_{j+1}^{(j+1)} | \prod_{e=1}^j \hat{G}_{e+1, e}(\theta_e^j) | P_{\pm}^{(j)}, \dots, P_j^{(j)}, N_{j+1}' \rangle = \\ & = \langle P_{\pm}^{(j)} + N_{j+1}', P_{j+1}^{(j+1)}, P_{j+1}^{(j+1)} | \hat{G}_{j+1, j}(\theta_j^j) | P_{\pm}^{(j)}, N_{j+1}' \rangle. \\ & \langle P_{\pm}^{(j+1)}, \dots, P_j^{(j+1)} | \prod_{e=1}^{j-1} \hat{G}_{e+1, e}(\theta_e^j) | P_{\pm}^{(j)}, \dots, P_{j-1}^{(j)}, P_j^{(j)} + N_{j+1}' - P_{j+1}^{(j+1)} \rangle. \end{aligned}$$

Продолжая эту процедуру понижения числа множителей в произведении  
 операторов поворота в координатных плоскостях после  $j-1$  шагов,  
 получаем:

$$\begin{aligned} & \langle P_{\pm}^{(j+1)}, \dots, P_{j+1}^{(j+1)} | \prod_{e=1}^j \hat{G}_{e+1, e}(\theta_e^j) | P_{\pm}^{(j)}, \dots, P_j^{(j)}, N_{j+1}' \rangle = \\ & = \prod_{k=1}^j \langle J_{jk} + m_{jk}, J_{jk} - m_{jk} | \hat{G}_{j-k+2}(\theta_{j-k+1}^j) | J_{jk} + m_{jk}', J_{jk} - m_{jk}' \rangle. \end{aligned} \quad (12)$$

Величины  $J_{jk}$ ,  $m_{jk}$  и  $m_{jk}'$  определены следующим образом:

$$\begin{aligned} 2J_{jk} &= N_{j+1}' + \sum_{v=j-R+1}^j P_v^{(j)} - \sum_{v=j-R+2}^{j+1} P_v^{(j+1)} + P_{j-R+2}^{(j+1)} \\ 2m_{jk} &= N_{j+1}' + \sum_{v=j-R+1}^j P_v^{(j)} - \sum_{v=j-R+2}^{j+1} P_v^{(j+1)} - P_{j-R+2}^{(j+1)} \\ 2m_{jk}' &= \sum_{v=1}^{j-k+1} P_v^{(j)} - \sum_{v=1}^{j-k+2} P_v^{(j+1)} + P_{j-k+1}^{(j)}. \end{aligned}$$

Пользуясь теперь формулой (4), приходим к окончательному результату:

$$\langle N_1, \dots, N_n | \hat{G}(\kappa) | N'_1, \dots, N'_n \rangle = \sum_{P_1^{(j)}, \dots, P_n^{(j)}} \prod_{j=1}^{n-1} \prod_{k=1}^j d_{m_{j,k}, m'_{j,k}}^{J_{j,k}} (2\theta_{j-k+1}^j) \quad (13)$$

Можно убедиться, что при  $n=2, 3$  и  $4$  формула (13) переходит в (4), (5) и (7).

4. Полученным выше результатам можно придать наглядность, если воспользоваться следующей аналогией. Оператор  $\hat{G}(\kappa)$  связывает состояния  $|N_1, \dots, N_n; \chi_1, \dots, \chi_n\rangle$  и  $|N'_1, \dots, N'_n; \chi'_1, \dots, \chi'_n\rangle$  и поэтому матричный элемент  $\langle N_1, \dots, N_n | \hat{G}(\kappa) | N'_1, \dots, N'_n \rangle$  можно интерпретировать как "амплитуду перехода системы из состояния  $N'$  в состояние  $N$ " и поставить в соответствие этой амплитуде диаграмму

$$\langle N_1, \dots, N_n | \hat{G}(\kappa) | N'_1, \dots, N'_n \rangle = \begin{array}{c} \begin{array}{ccc} \xrightarrow{N'_1} & \text{---} & \xrightarrow{N_n} \\ \xrightarrow{N'_2} & \text{---} & \xrightarrow{N_{n-1}} \\ \xrightarrow{N'_3} & \text{---} & \xrightarrow{N_{n-2}} \\ \vdots & & \vdots \\ \xrightarrow{N'_n} & \text{---} & \xrightarrow{N_1} \end{array} \end{array}$$

При таком подходе разложение (10) матричного элемента оператора  $\hat{G}(\kappa)$  по матричным элементам операторов  $\hat{G}^{(d)}$  графически представится в виде последовательности "переходов"

$$N' \begin{array}{c} \text{---} \\ \text{---} \\ \text{---} \\ \vdots \\ \text{---} \end{array} \text{---} \begin{array}{c} \xrightarrow{N'_2} \\ \xrightarrow{N'_3} \\ \vdots \\ \xrightarrow{N'_n} \end{array} \text{---} N \quad (14)$$

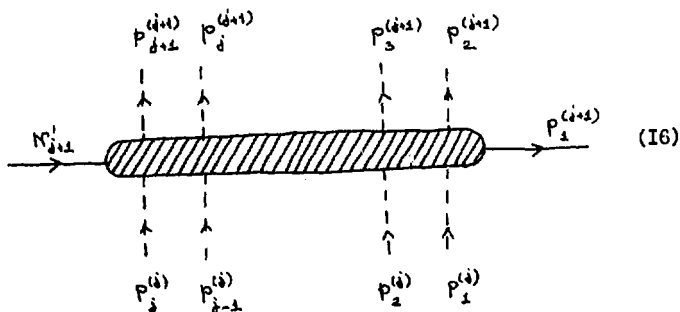
Подразумевается, что по пунктирным линиям ведется суммирование, а промежуточные блоки, содержащие одну сплошную линию, соответствуют матричным элементам операторов  $\hat{G}^{(d)}$ , а именно:

$$\langle P_{d+1}^{(i+1)}, \dots, P_{i+1}^{(i+1)} | \hat{G}^{(i)}(\theta_{d+1}^i, \dots, \theta_i^i) | P_{d+1}^{(i)}, \dots, P_i^{(i)}, N_{i+1}^{(i)} \rangle = P_{d+1}^{(i)} \dots P_i^{(i)} \cdot \text{diagram} \cdot P_{d+1}^{(i+1)} \quad (I5)$$

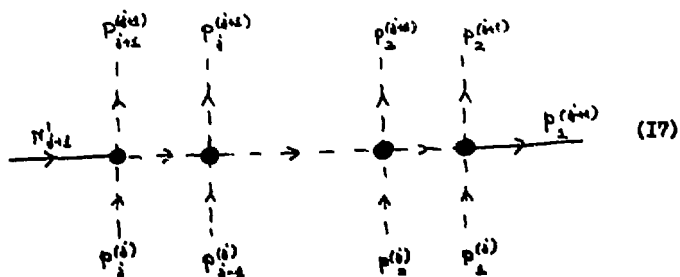
Согласно условию, предшествующему формуле (II), при  $j=1$  и  $j=n$  эти блоки переходят в первый и последний блок разложения (I4). Для каждого блока справедлив закон сохранения

$$P_{d+1}^{(i+1)} + \dots + P_{i+1}^{(i+1)} = P_{d+1}^{(i)} + \dots + P_i^{(i)} \quad 1.$$

Графическое разложение (I4) топологически эквивалентно диаграмме, приведенной на рис. I. Блок (I5) на этой диаграмме выглядит так:



В соответствие с формулой (I2) структура этого блока имеет вид



В отличие от разложения (I4), в (I7) промежуточные пунктирные линии при заданных внешних имеют определенный индекс, так что переход от (I6) к (I7) не связан с добавочным суммированием. Диаграмма на рис. 1 и разложение (I7) позволяют выразить амплитуду перехода  $\langle n | \hat{G}(n) | n' \rangle$  через амплитуды элементарных переходов двух линий в две (см. рис. 2).

В этой диаграмме число пересечений, т.е. элементарных блоков, равно  $n(n-1)/2$ . Это соответствует тому, что с каждым из таких блоков связан поворот в координатной плоскости на определенный эйлеров угол. Число суммирований в формуле (I3) равно

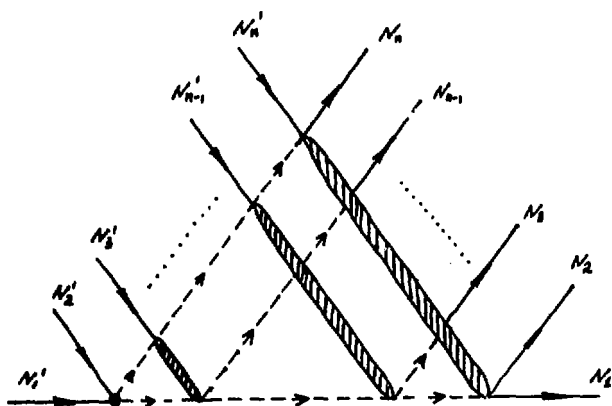



Рис. 1.

Диаграмма, топологически эквивалентная разложению (I4).

$(n-1)(n-2)/2$  и совпадает с числом элементарных петель на диаграмме рис. 2. Каждому пересечению, согласно (4), соответствует амплитуда элементарного "перехода"



$$= \langle A, B | \hat{G}(\theta) | A', B' \rangle = d_{\frac{A-B}{2}, \frac{A+B}{2}}^{\frac{A+B}{2}}(\theta) \quad (18)$$

Оператор  $\hat{G}(\theta)$  в последнем соотношении конечно, должен быть снабжен индексами координатных осей, определяющих плоскость, в которой совершается поворот. Мы эти индексы опустили, т.к. они однозначно определяются самой диаграммой на рис. 2.

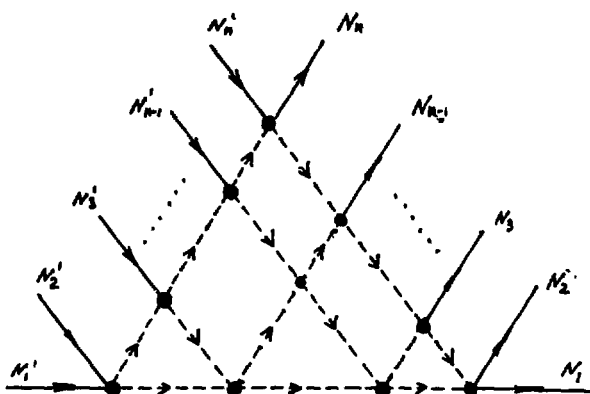


Рис. 2.

Диаграмма, выражающая  $n$ -мерную осцилляторную функцию Вигнера через  $d$ -функции, зависящие от углов, на которые совершаются повороты в координатных плоскостях.

Сводка правил расчета такова. Для каждого конкретного  $n$  чертим соответствующую диаграмму, отмечаем на ней углы Эйлера и расставляем индексы, соответствующие всем линиям. Число нефиксированных индексов должно быть равно числу элементарных петель на диаграмме. Далее, каждому пересечению ставится в соответствие  $d$ -функция от угла, "прикрепленного" к этому пересечению. Ин-

дексы  $d$ -функции расставляются согласно правилу (18), а по нефиксированным индексам проводится суммирование, причем в суммировании принимают участие значения, для которых  $d$ -функция имеет смысл. Подробнее последнее условие нами объяснялось выше в связи с формулой (5).

Продemonстрируем эти правила на конкретных примерах при  $n = 3, 4, 5$ . Если индексы волновых функций выбрать так, как это делалось в пункте 2, то получаются диаграммы, изображенные на рис. 3 и рис. 4.

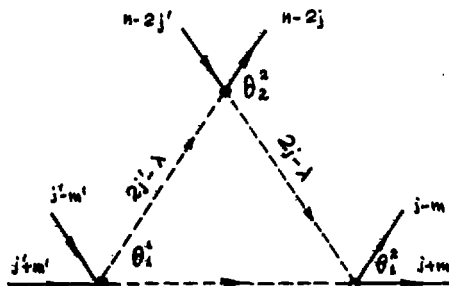


Рис. 3.

Диаграмма для трехмерной осцилляторной функции Вигнера.

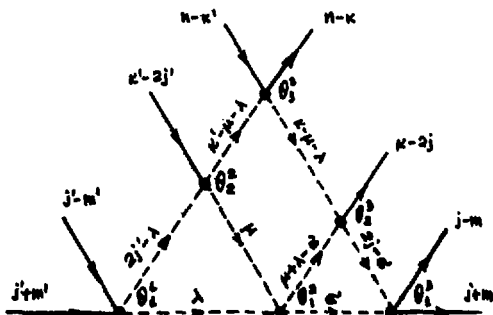


Рис. 4.

Диаграмма для четырехмерной осцилляторной функции Вигнера.

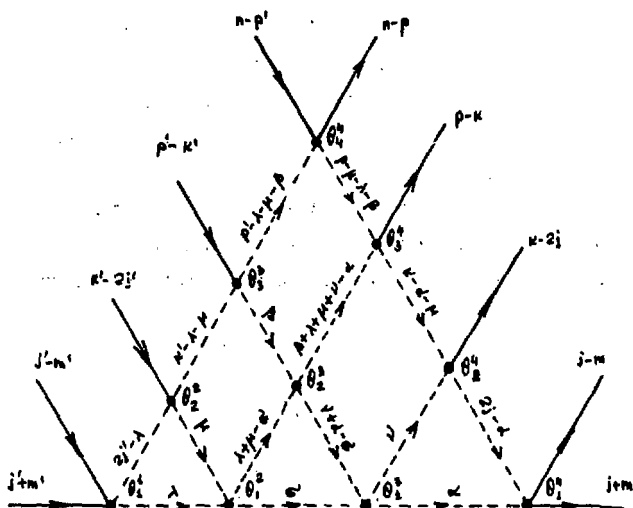


Рис. 5.

Диаграмма для пятимерной осцилляторной функции Вигнера.

Сформулированные правила в случае диаграмм рис. 3 и рис. 4 приводят к полученным ранее формулам (5) и (7), а для диаграммы на рис. 5 получается результат

$$\begin{aligned}
 & \langle j+m, j-m, k-2j, p-k, n-p | \hat{G}(s) | j+m', j-m', k'-2j', p'-k', n-p' \rangle = \\
 & = \sum_{\lambda, \nu, \sigma, \kappa, \alpha, \beta} d_{m', \lambda, j'}^{j'}(2\theta_1^{\alpha'}) d_{\frac{\lambda+\beta}{2}, \beta, \frac{\lambda+\nu}{2}}^{\frac{\lambda+\beta}{2}}(2\theta_2^{\alpha'}) d_{2j', \frac{k'-\lambda}{2}, j, \frac{k'-1}{2}}^{\frac{k'-1}{2}}(2\theta_2^{\beta'}) d_{\sigma, \frac{\nu+\kappa}{2}, \frac{\kappa-\nu}{2}}^{\frac{\nu+\kappa}{2}}(2\theta_1^{\beta'}) \\
 & \quad d_{\frac{\lambda+\nu+\beta-\sigma}{2}, \nu+\sigma, \frac{\sigma+\beta+\lambda+\nu}{2}}^{\frac{\lambda+\nu+\beta-\sigma}{2}}(2\theta_1^{\alpha'}) d_{\kappa, \frac{\lambda+\nu+\sigma'}{2}, \beta, \frac{p'-\lambda-\nu}{2}}^{\frac{p'-\lambda-\nu}{2}}(2\theta_2^{\alpha'}) d_{d-j, m}^j(2\theta_1^{\alpha'}) \\
 & \quad d_{\nu, \frac{\kappa-\nu}{2}, 2j, \frac{k'-1}{2}}^{\frac{k'-1}{2}}(2\theta_1^{\alpha'}) d_{\beta+\lambda+\nu, \frac{\nu+\sigma+\lambda}{2}, \kappa, \frac{p+\sigma+\nu}{2}}^{\frac{p+\sigma+\nu}{2}}(2\theta_1^{\beta'}) d_{\nu', \frac{m\beta+\sigma\lambda}{2}, \nu, \frac{p+\sigma+\lambda+\nu}{2}}^{\frac{p+\sigma+\lambda+\nu}{2}}(2\theta_1^{\beta'})
 \end{aligned}$$

Таким образом диаграммный метод сводит задачу о нахождении осцилляторной функции Вигнера к простым геометрическим построениям.

Мы глубоко признательны А.Н.Сисакяну за проявленный интерес к работе и плодотворные обсуждения.

#### Литература

1. Погосян Г.С., Тер-Антонян В.М., Торосян Г.Т. Препринт ПЛРФ-77-04, Изд. Ереванского государственного университета, Ереван, 1977.
2. Варшавович Д.А., Москалев А.Н., Херсонский В.К. "Квантовая теория углового момента". Л., 1975.
3. Погосян Г.С., Тер-Антонян В.М. ТМФ, 1979, т.10, № 1.
4. Погосян Г.С., Тер-Антонян В.М. ОИЯИ, П2-11962, Дубна, 1978.
5. Виленкин Н.Я. "Специальные функции и теория представлений групп", М., 1965.

Рукопись поступила в издательский отдел  
7 февраля 1980 года.